

METABÓLITOS SECUNDÁRIOS DOS NUDIBRÂNQUIOS *Tambja stegosauriformis*, *Hypselodoris lajensis* E *Okenia zoobotryon* E DOS BRIOZOÁRIOS *Zoobotryon verticillatum* E *Bugula dentata* DA COSTA DO BRASIL[#]

Fábio R. Pereira e Roberto G. S. Berlinck*

Instituto de Química de São Carlos, Universidade de São Paulo, CP 780, 13560-970 São Carlos – SP, Brasil

Edson Rodrigues Filho, Katyuscya Veloso e Antonio G. Ferreira

Departamento de Química, Universidade Federal de São Carlos, CP 676, 13560-970 São Carlos – SP, Brasil

Vinicius Padula

Zoologische Staatssammlung München, Mollusca Sektion, Münchhausenstr. 21, 81247, München, Germany

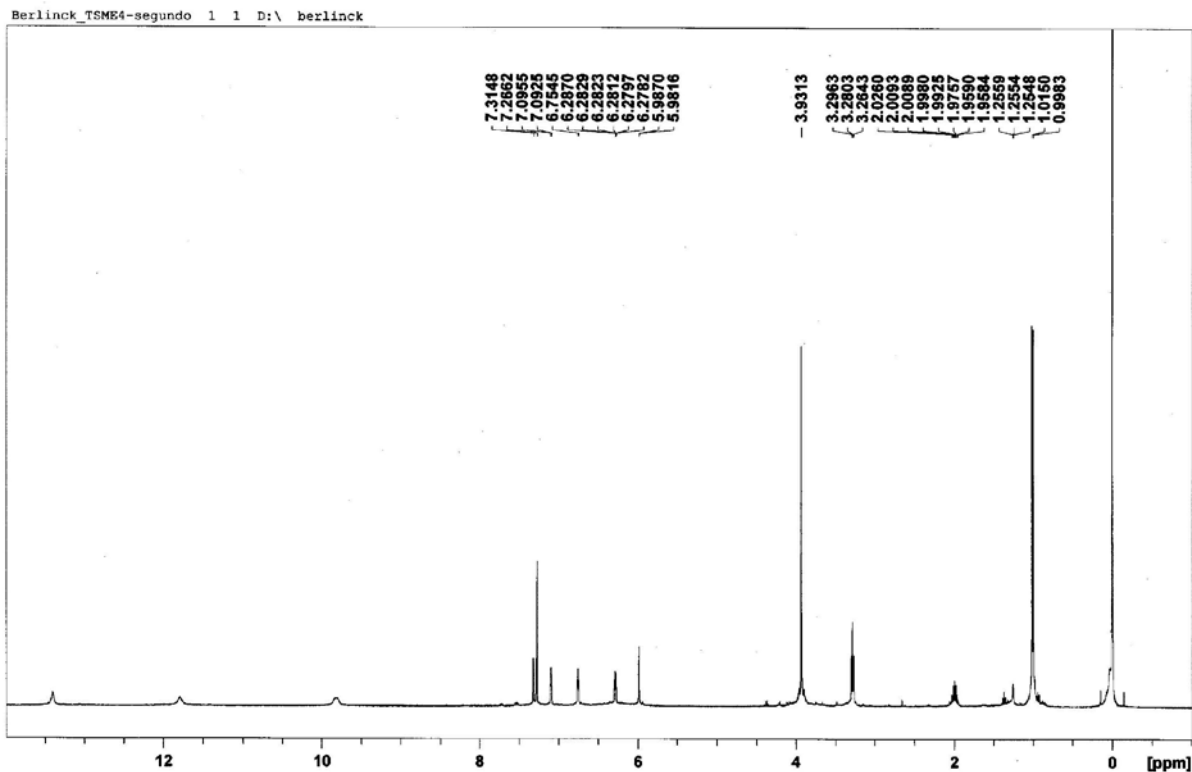


Figura 1S. Espectro de RMN-¹H (CDCl₃, 400 MHz) da tambjamina C (3) isolada de *T. stegosauriformis*

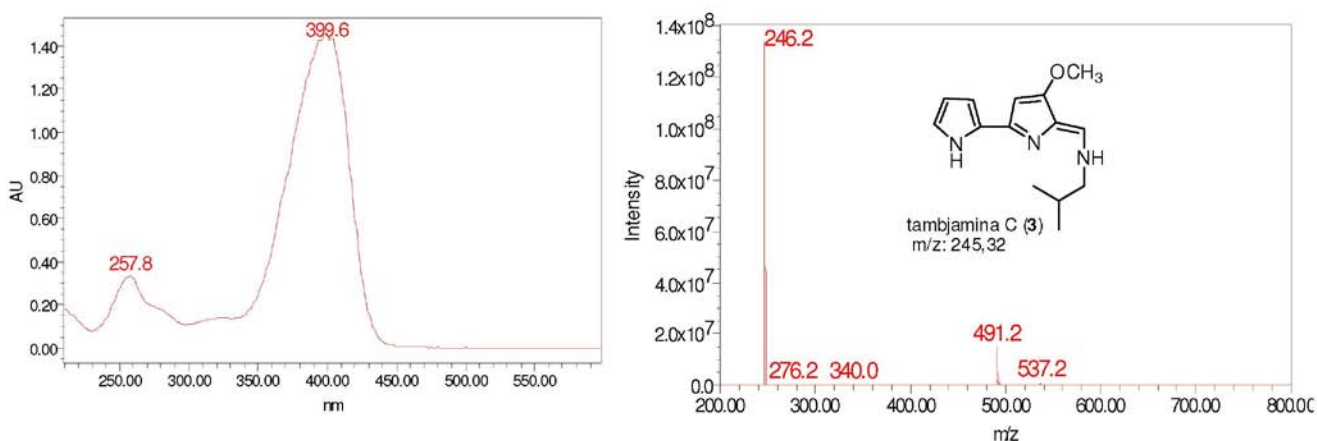


Figura 2S. Espectros no ultravioleta e de massas (ESI⁺) da tambjamina C (3) isolada de *T. stegosauriformis*

*e-mail: rgsberlinck@iqsc.usp.br

[#]Artigo em homenagem ao Prof. Otto R. Gottlieb (31/8/1920-19/6/2011)

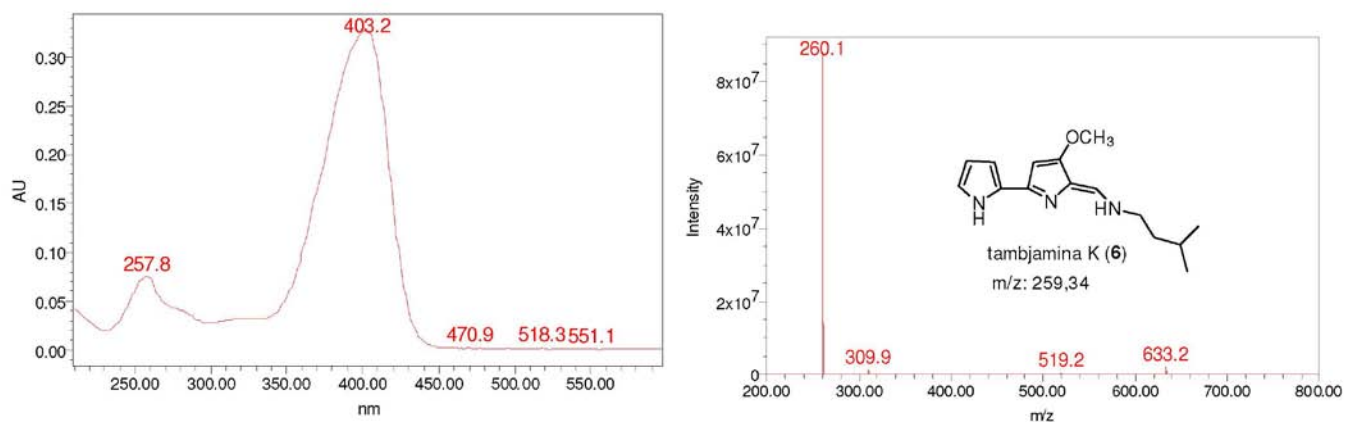


Figura 3S. Espectros no ultravioleta e de massas (ESI⁺) da tambjamina K (6) isolada de *T. stegosauriformis*

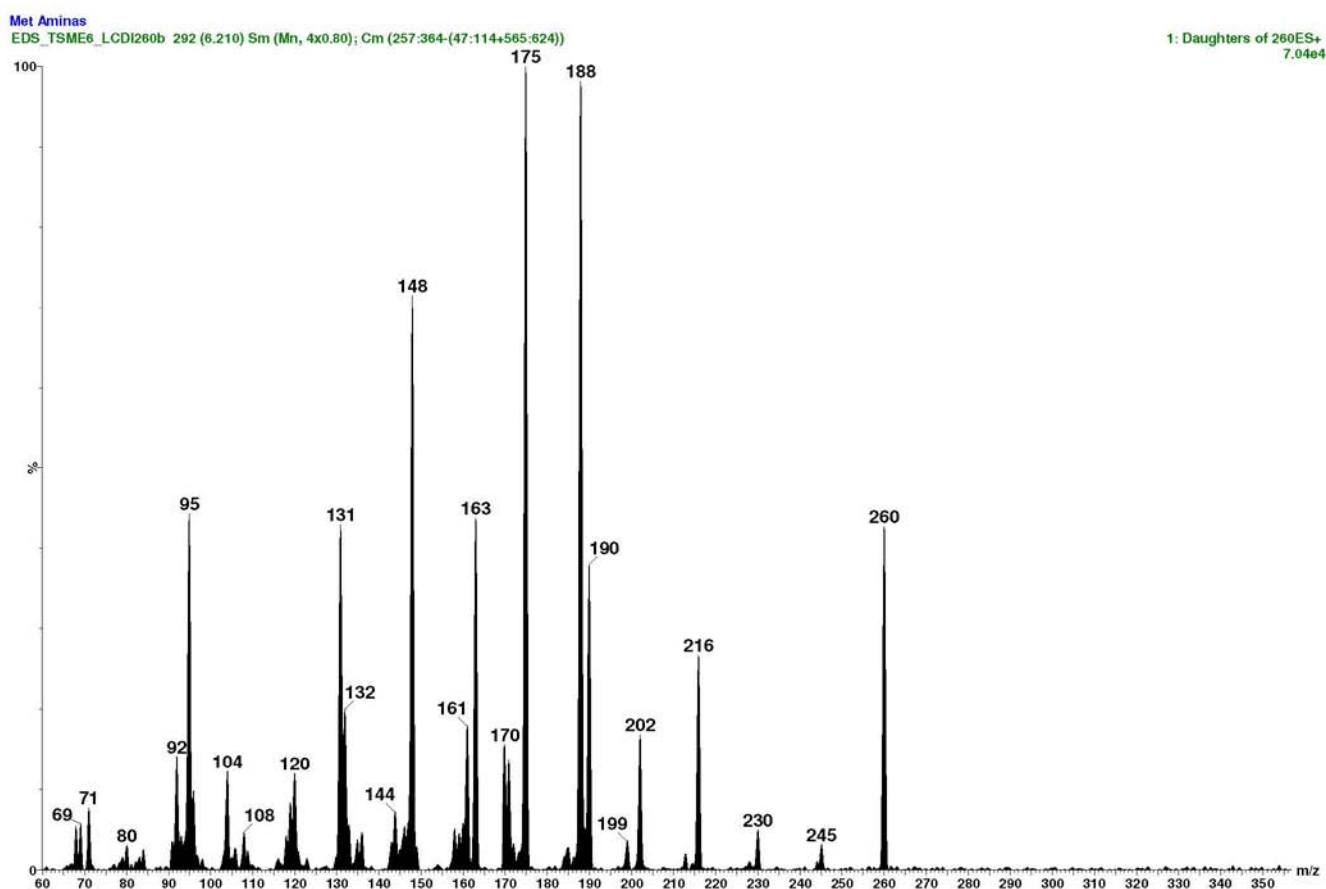


Figura 4S. Espectro de massas tipo MS/MS (ESI⁺) da tambjamina K (6) isolada de *T. stegosauriformis*

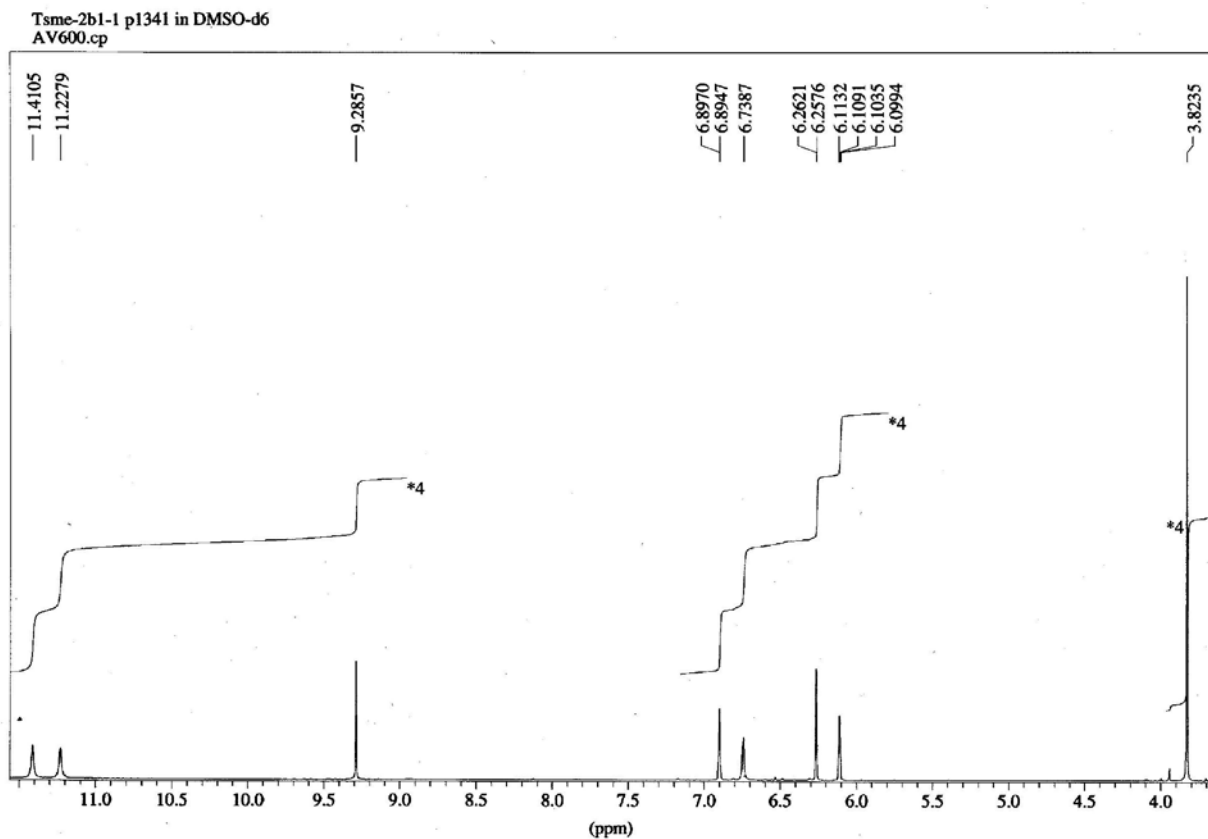


Figura 5S. Espectro de RMN-¹H (DMSO-d₆, 600 MHz) do aldeído da tambjamina A (7) isolada de *T. stegosauriformis*

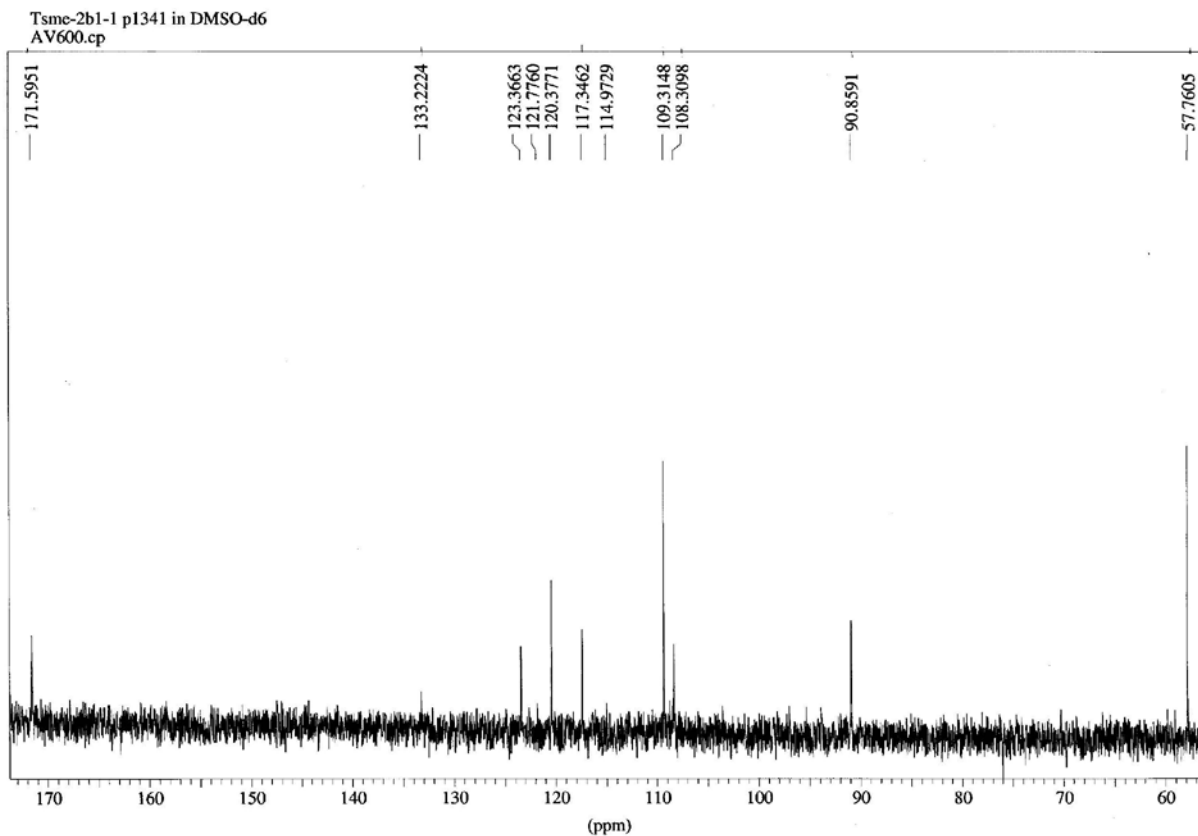


Figura 6S. Espectro de RMN-¹³C (DMSO-d₆, 125 MHz) do aldeído da tambjamina A (7) isolada de *T. stegosauriformis*

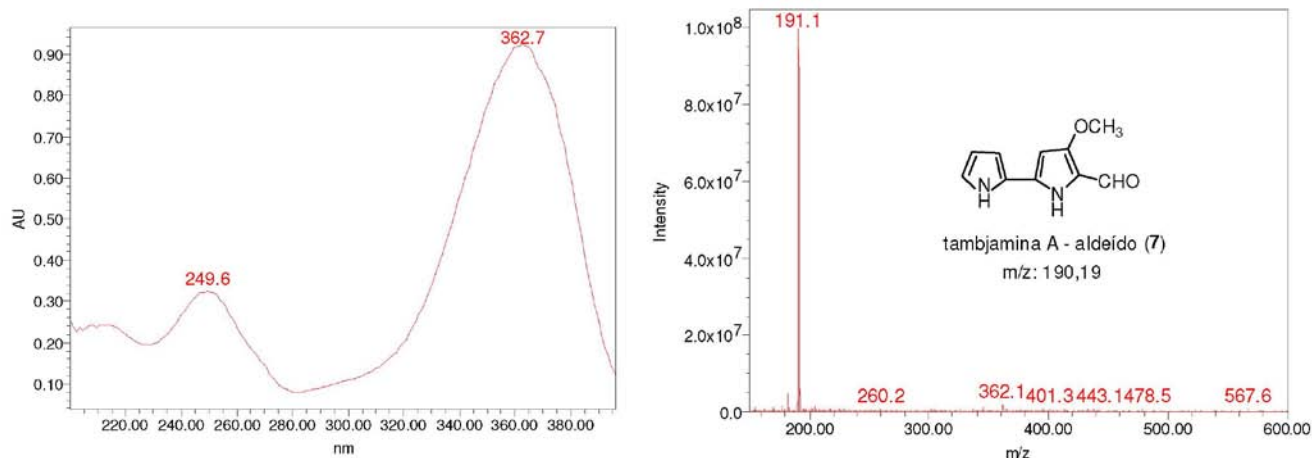


Figura 7S. Espectros no ultravioleta e de massas (ESI⁺) do aldeído da tambjamina A (7) isolada de *T. stegosauriformis*

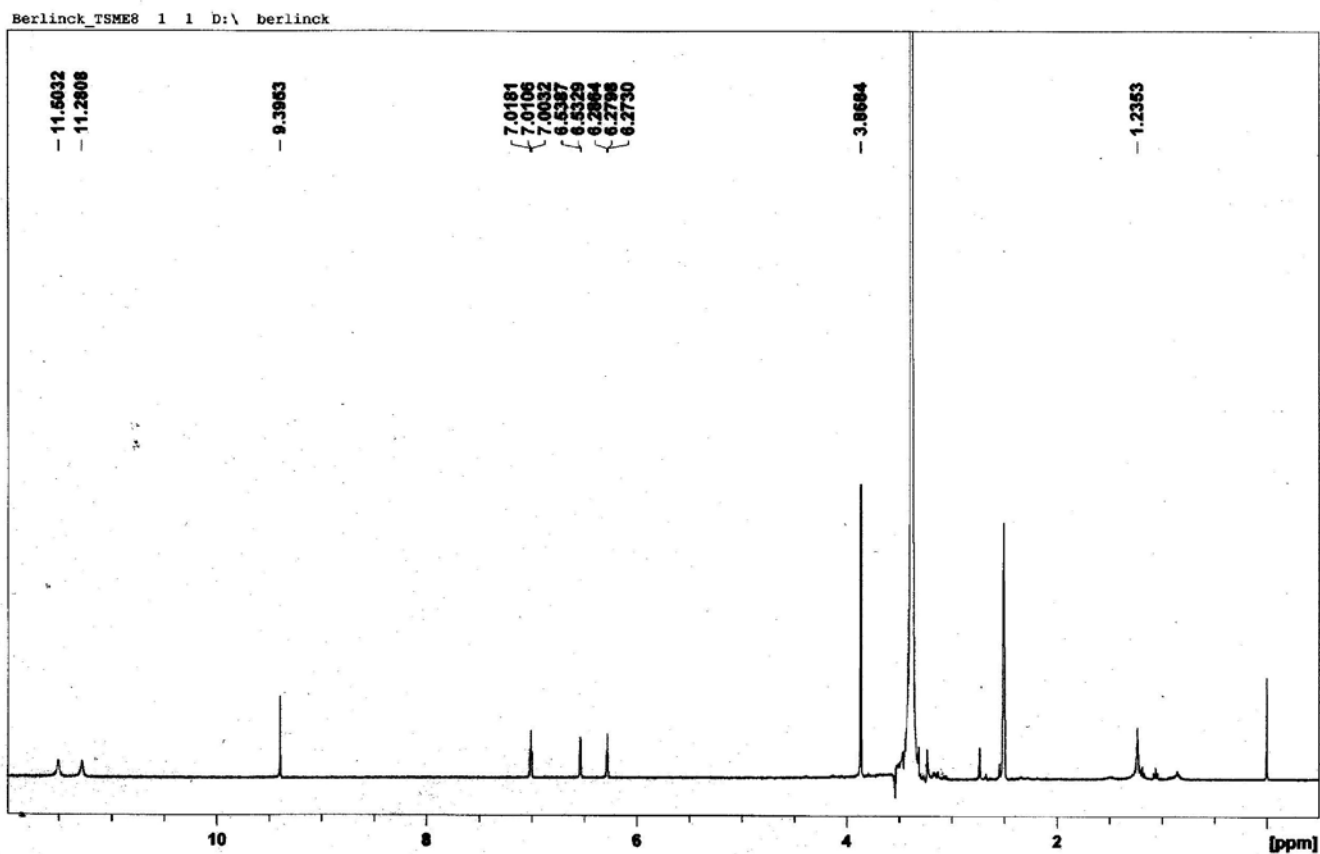


Figura 8S. Espectro de massas tipo MS/MS (ESI⁺) do aldeído da tambjamina A (7) isolada de *T. stegosauriformis*

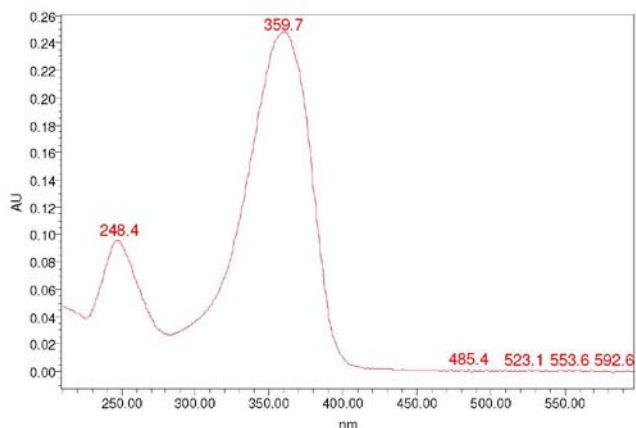


Figura 9S. Espectro de RMN-¹H (DMSO-*d*₆, 400 MHz) do aldeído da tambjamina B (8) isolada de *T. stegosauriformis*

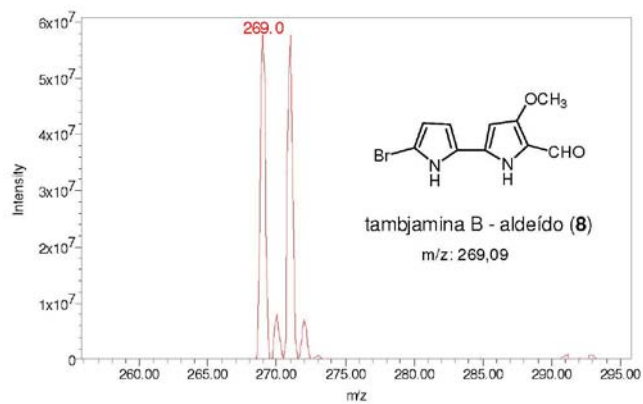


Figura 10S. Espectros no ultravioleta e de massas (ESI⁺) do aldeído da tambjamina B (8) isolada de *T. stegosauriformis*

Berlinck_TSME7-segundo 1 1 D:\ berlinck

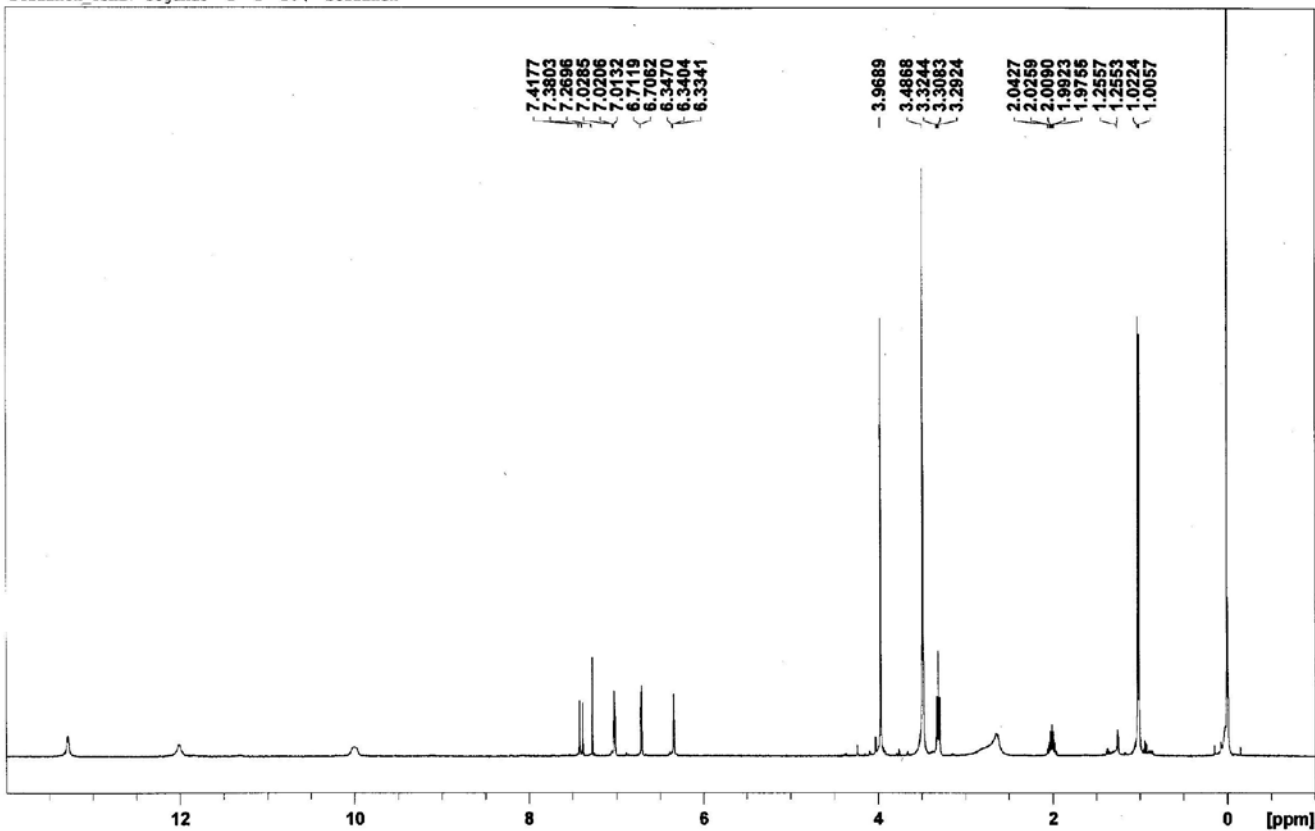


Figura 11S. Espectro de massas tipo MS/MS (ESI⁺) do aldeído da tambjamina B (7) isolada de *T. stegosauriformis*

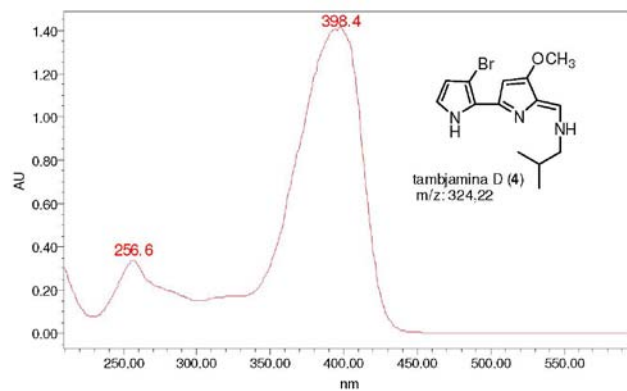


Figura 12S. Espectro de RMN-¹H (CDCl₃, 400 MHz) da tambjamina D (4) isolada de *T. stegosauriformis*

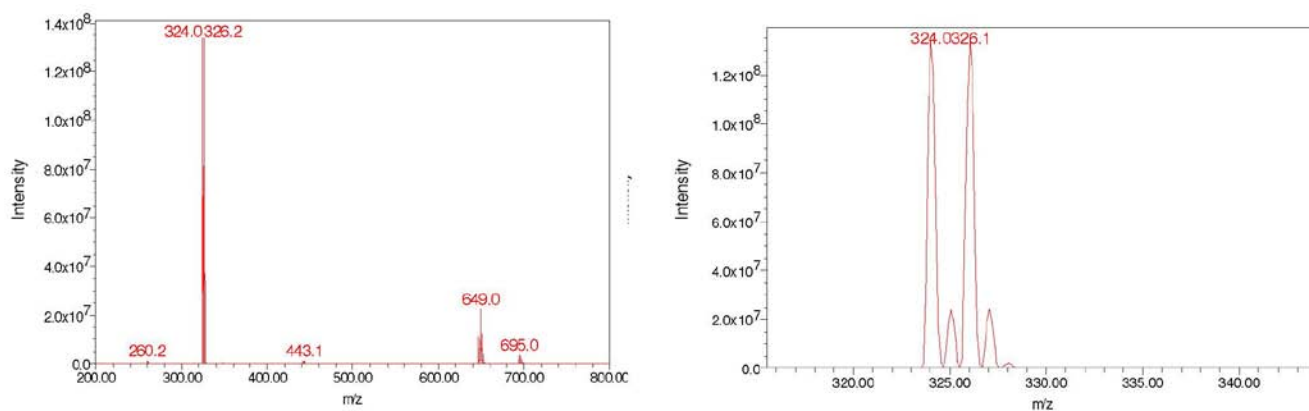


Figura 13S. Espectros no ultravioleta e de massas (ESI⁺) da tambjamina D (4) isolada de *T. stegosauriformis*

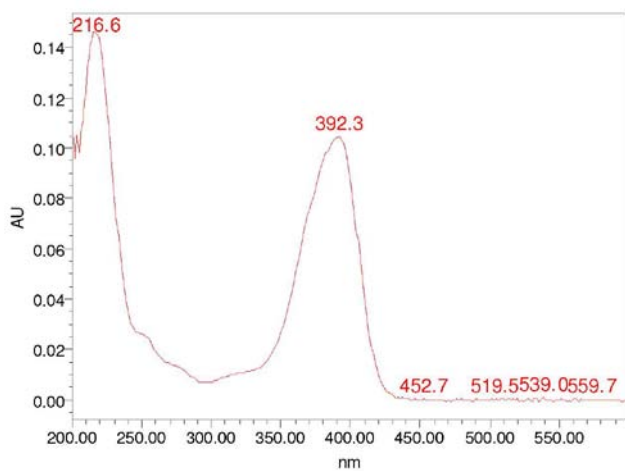


Figura 14S. Espectro de massas tipo MS/MS (ESI⁺) da tambjamina D (4) isolada de *T. stegosauriformis*

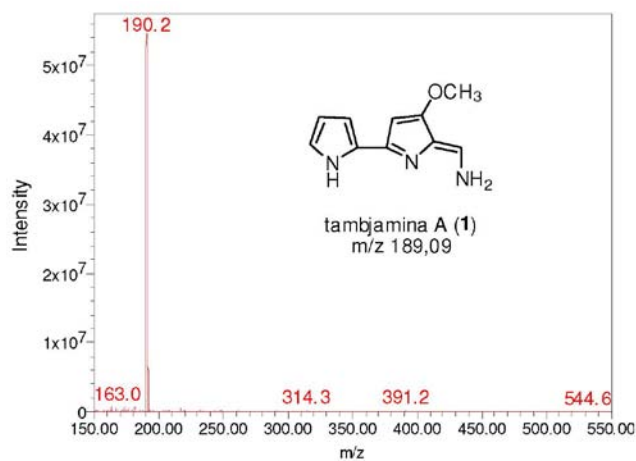


Figura 15S. Espectros no ultravioleta e de massas (ESI⁺) da tambjamina A (1) isolada de *B. dentata*

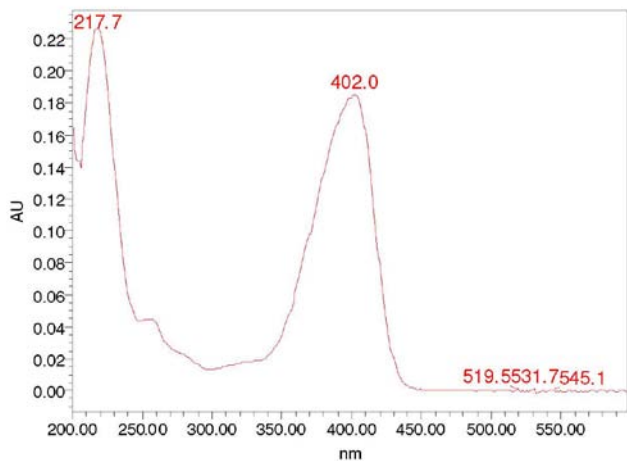


Figura 16S. Espectro de RMN-¹H (CDCl₃, 400 MHz) da tambjamina A (1) isolada de *B. dentata*

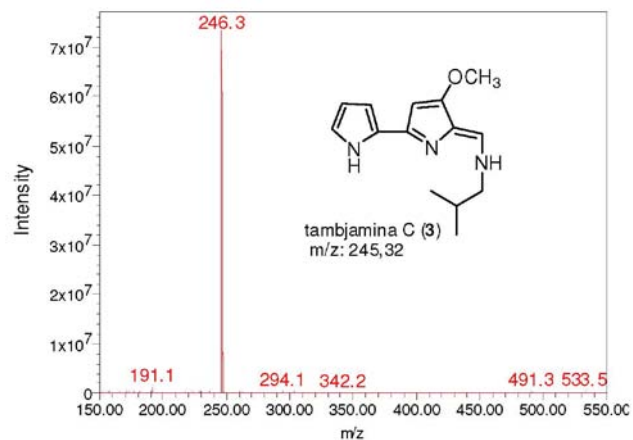


Figura 17S. Espectros no ultravioleta e de massas (ESI⁺) da tambjamina C (3) isolada de *B. dentata*

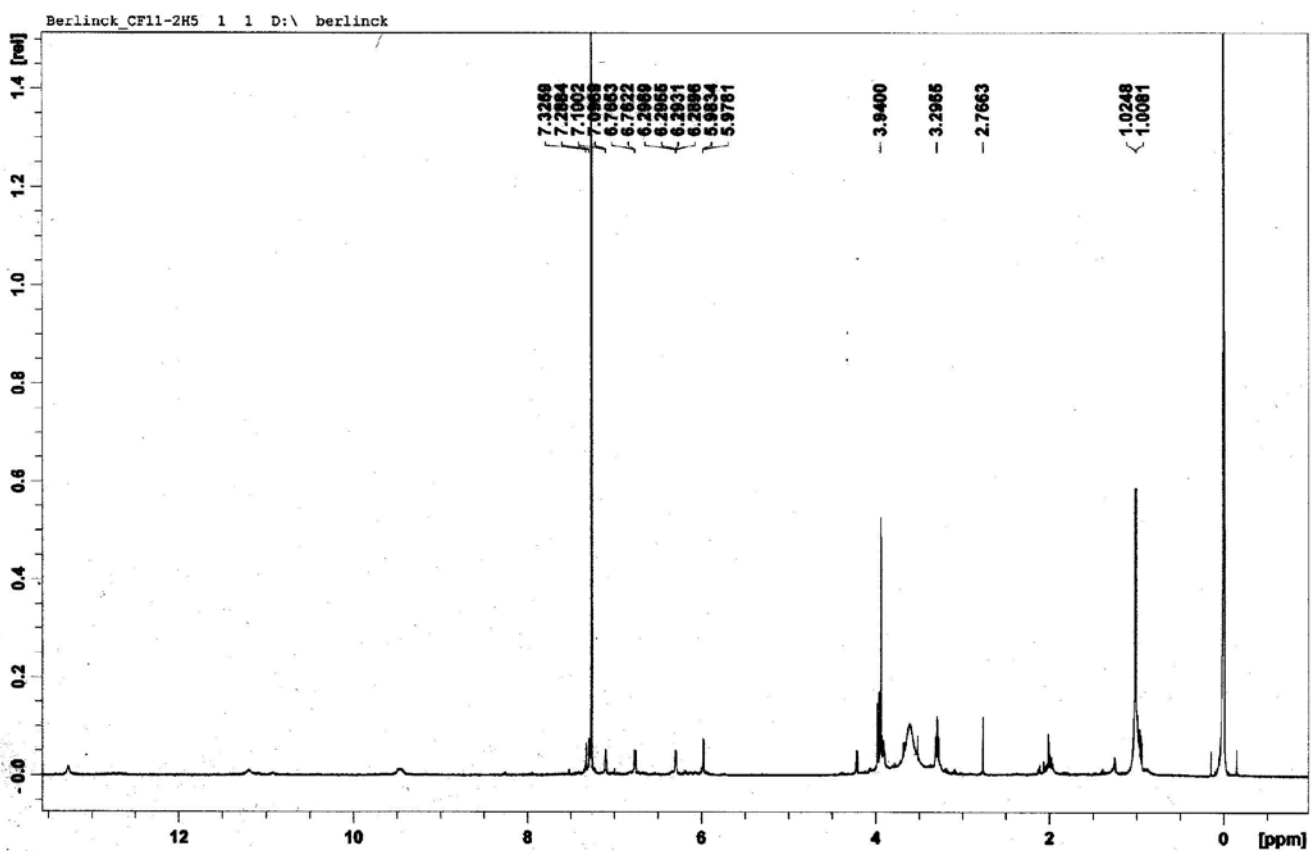


Figura 18S. Espectro de RMN-¹H (CDCl₃, 400 MHz) da tambjamina C (3) isolada de *B. dentata*

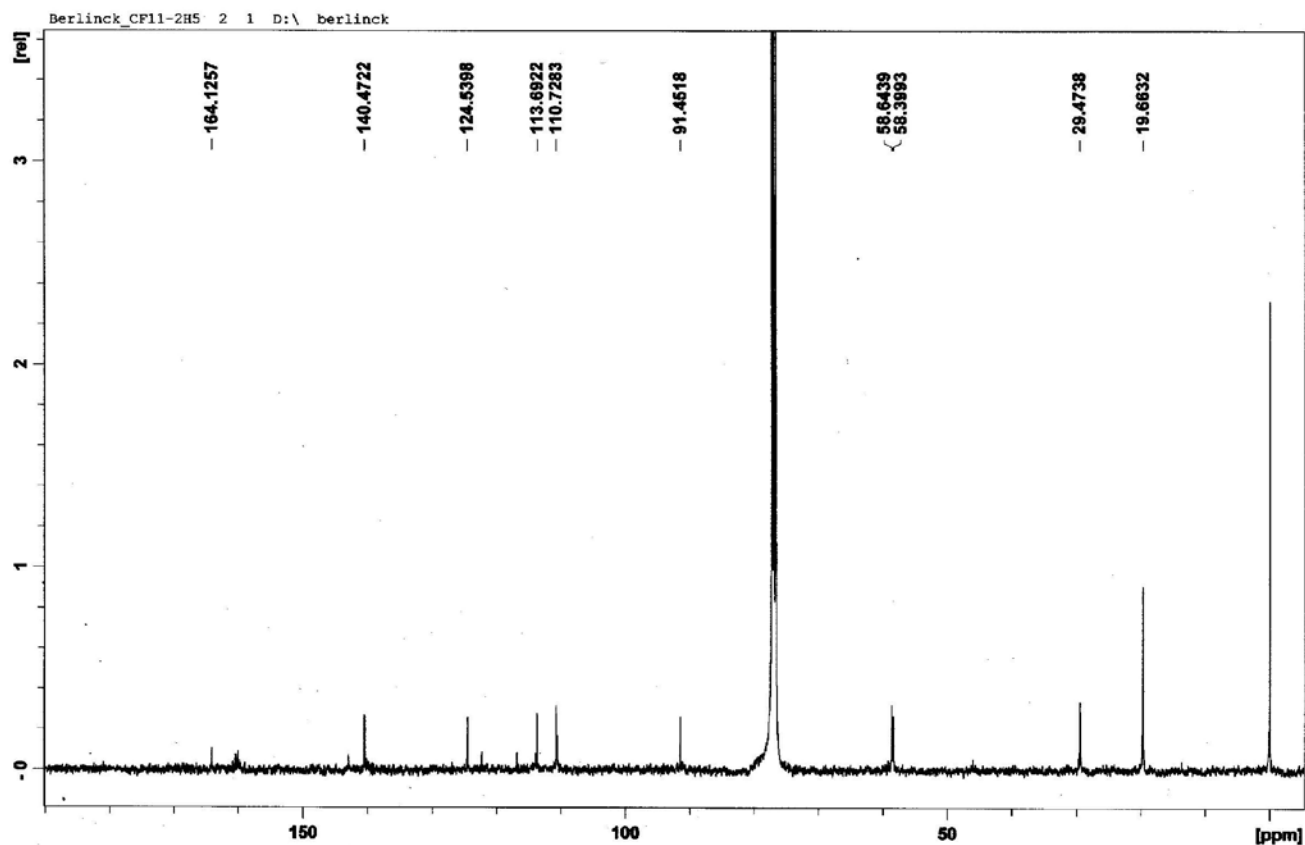


Figura 19S. Espectro de RMN- ^{13}C (CDCl_3 , 100 MHz) da tambjamina C (3) isolada de *B. dentata*

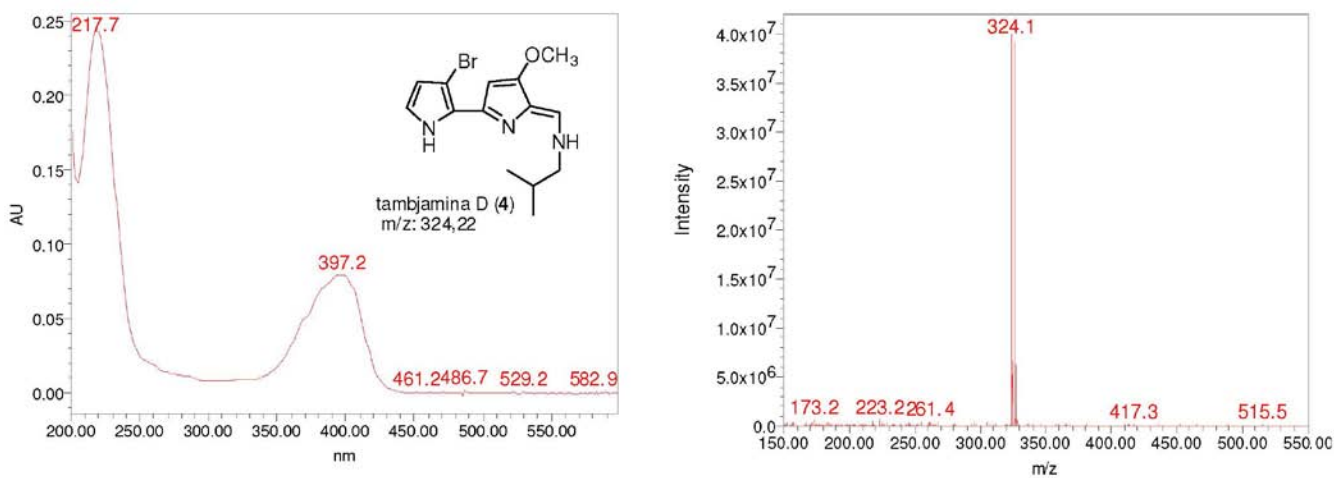


Figura 20S. Espectros no ultravioleta e de massas (ESI^+) da tambjamina D (4) isolada de *B. dentata*

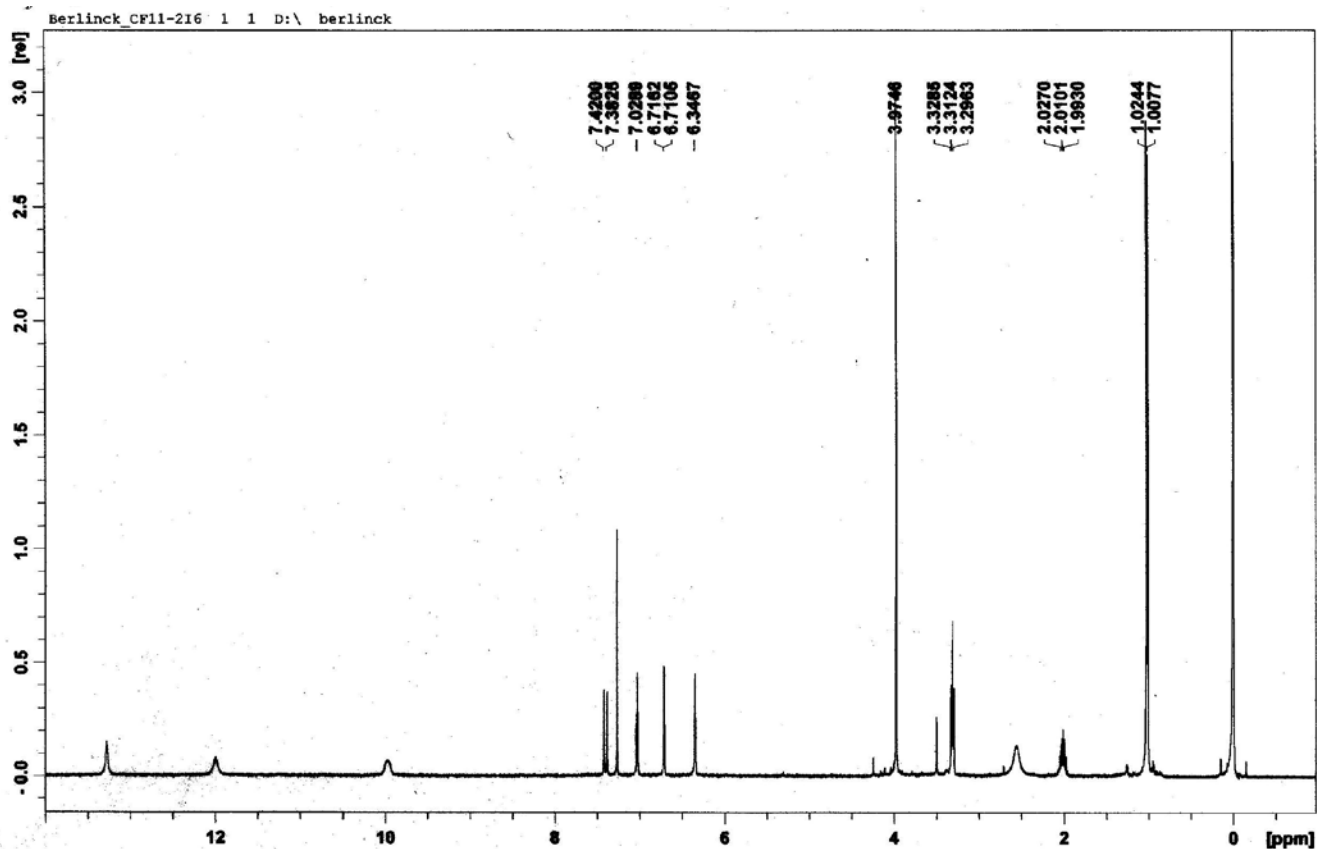


Figura 21S. Espectro de RMN- ^1H (CDCl_3 , 400 MHz) da tambjamina D (4) isolada de *B. dentata*

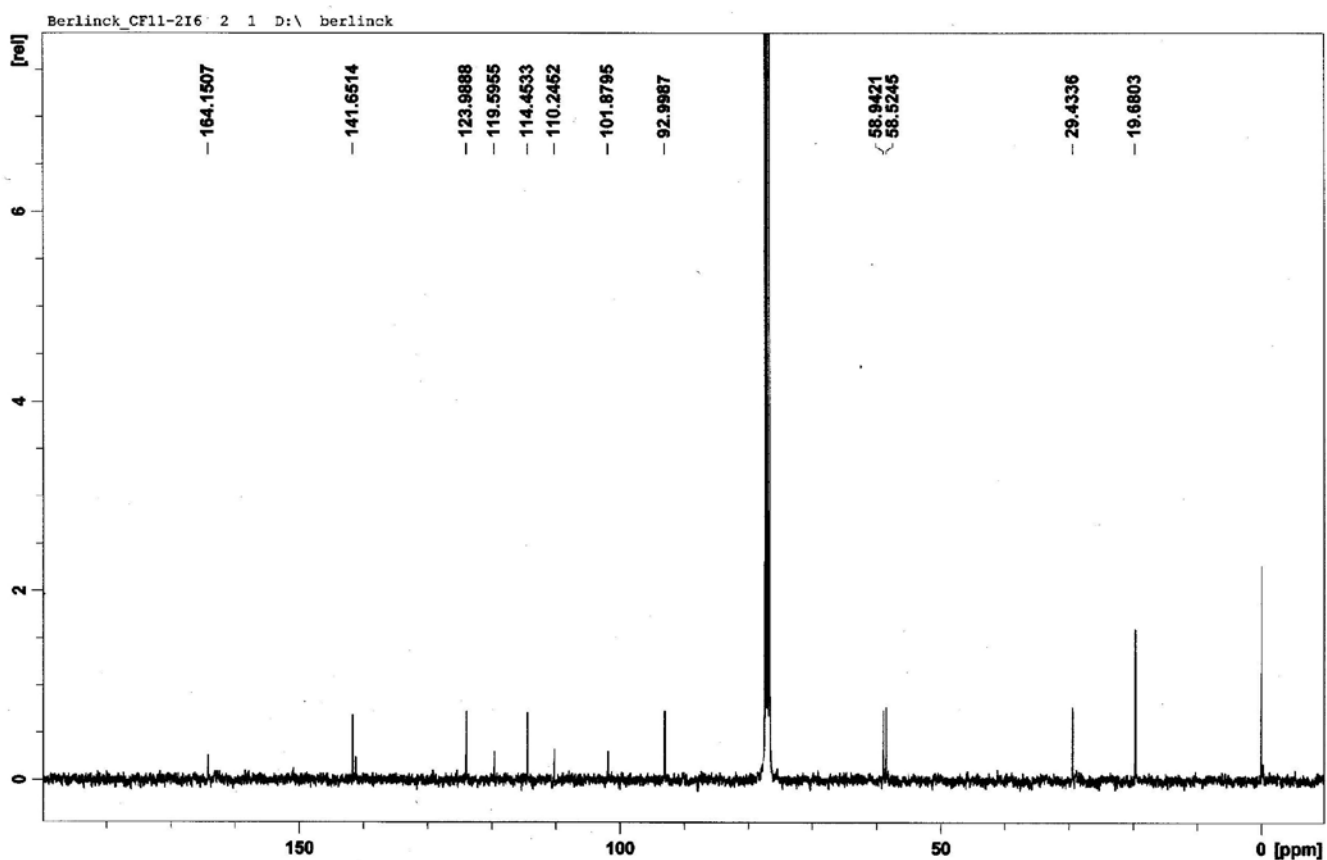


Figura 22S. Espectro de RMN- ^{13}C (CDCl_3 , 100 MHz) da tambjamina D (4) isolada de *B. dentata*

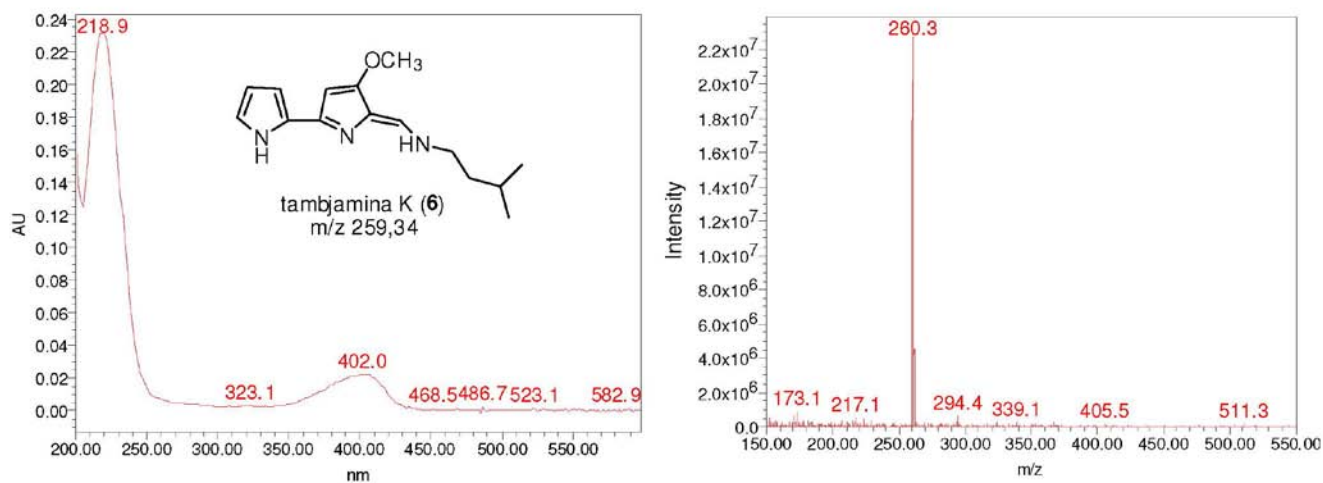


Figura 23S. Espectros no ultravioleta e de massas (ESI⁺) da tambjamina K (6) isolada de *B. dentata*

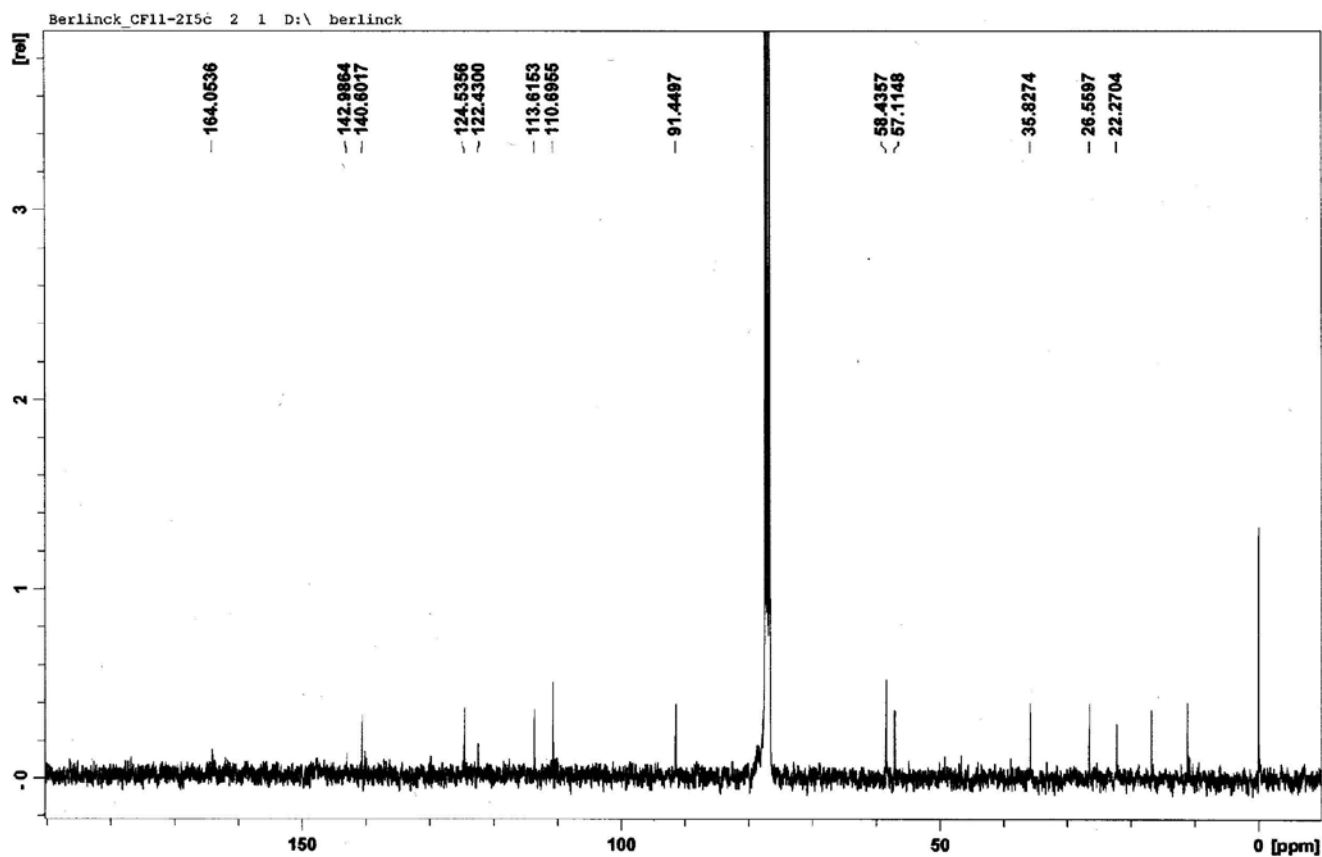


Figura 24S. Espectro de RMN-¹H (CDCl₃, 400 MHz) da tambjamina K (6) isolada de *B. dentata*

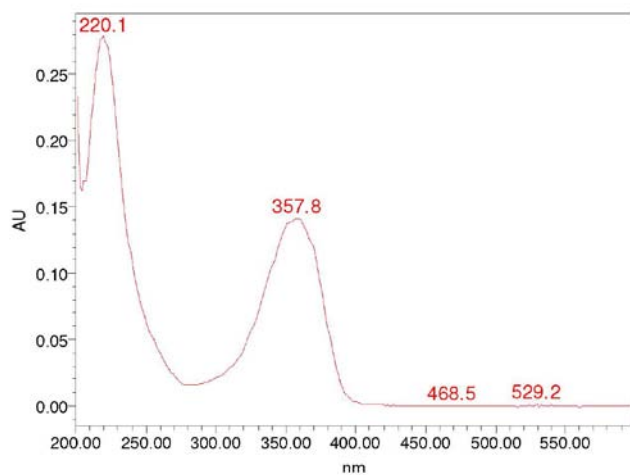


Figura 25S. Espectro de RMN- ^{13}C (CDCl_3 , 100 MHz) da tambjamina K (6) isolada de *B. dentata*

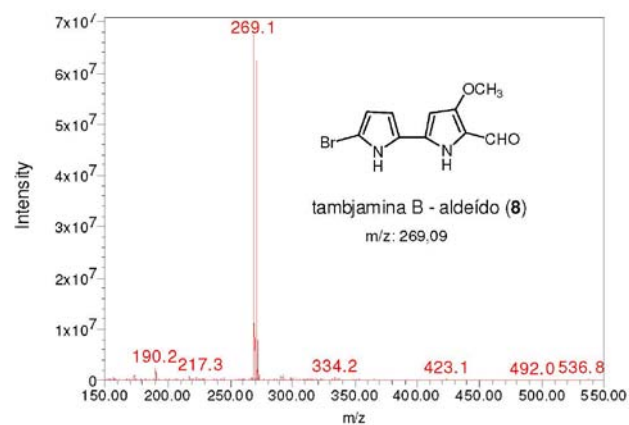


Figura 26S. Espectros no ultravioleta e de massas (ESI^+) do aldeído da tambjamina B (8) isolada de *B. dentata*

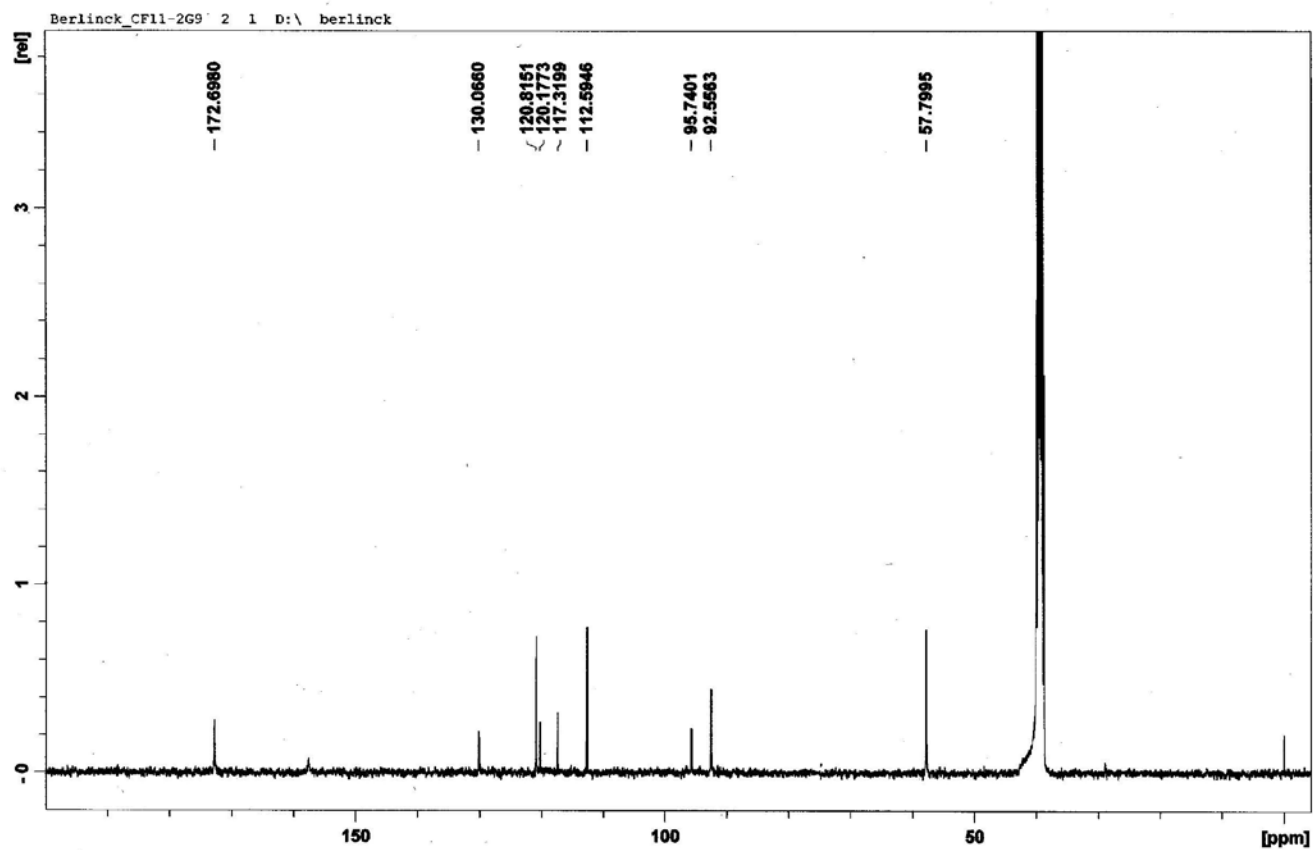


Figura 27S. Espectro de RMN- ^{13}C ($\text{DMSO}-d_6$, 400 MHz) do aldeído da tambjamina B (8) isolada de *B. dentata*

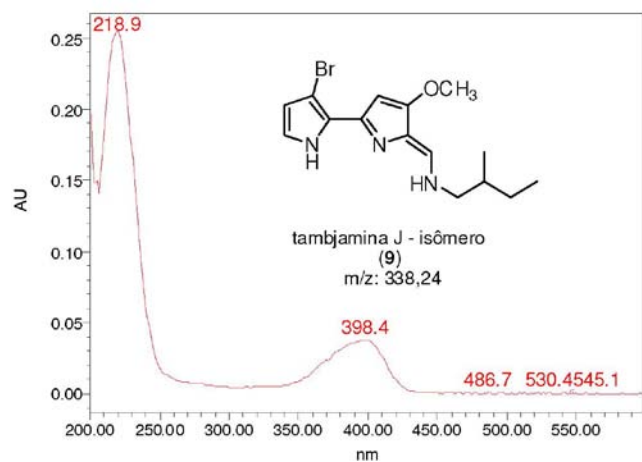


Figura 28S. Espectro de RMN- ^{13}C ($\text{DMSO}-d_6$, 100 MHz) do aldeído da tambjamina B (8) isolada de *B. dentata*

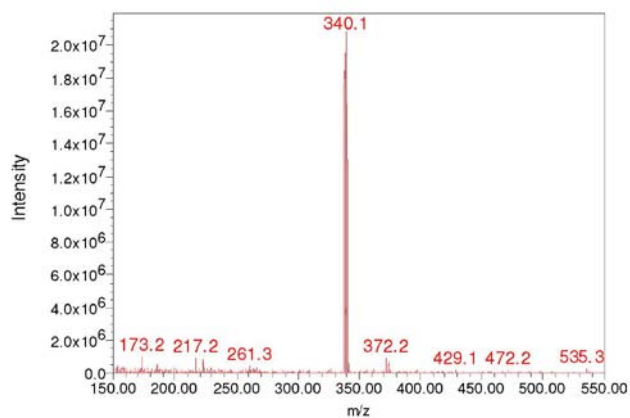


Figura 29S. Espectros no ultravioleta e de massas (ESI^+) da tambjamina J1 (9) isolada de *B. dentata*

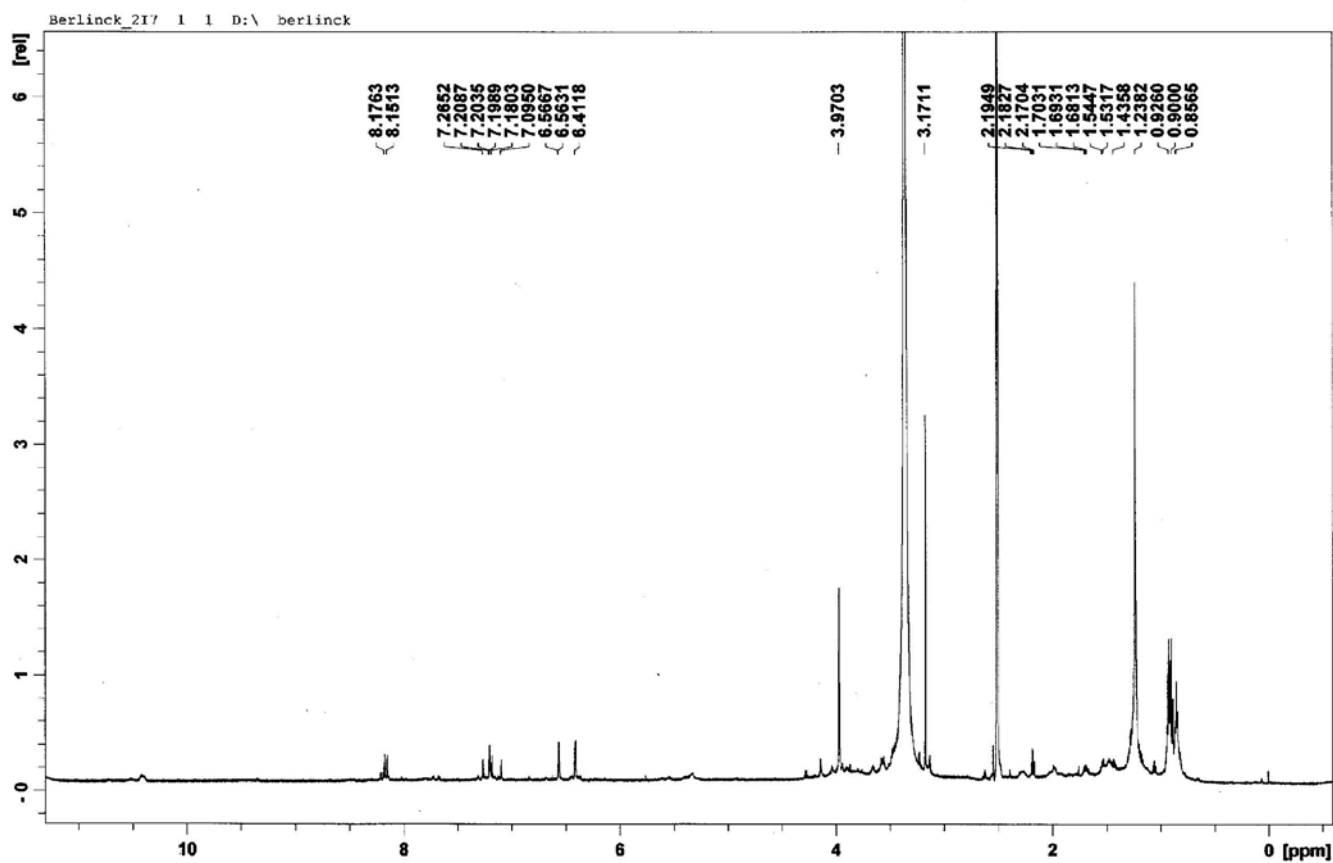


Figura 30S. Espectro de RMN- ^1H ($\text{DMSO}-d_6$, 600 MHz) da tambjamina J1 (9) isolada de *B. dentata*

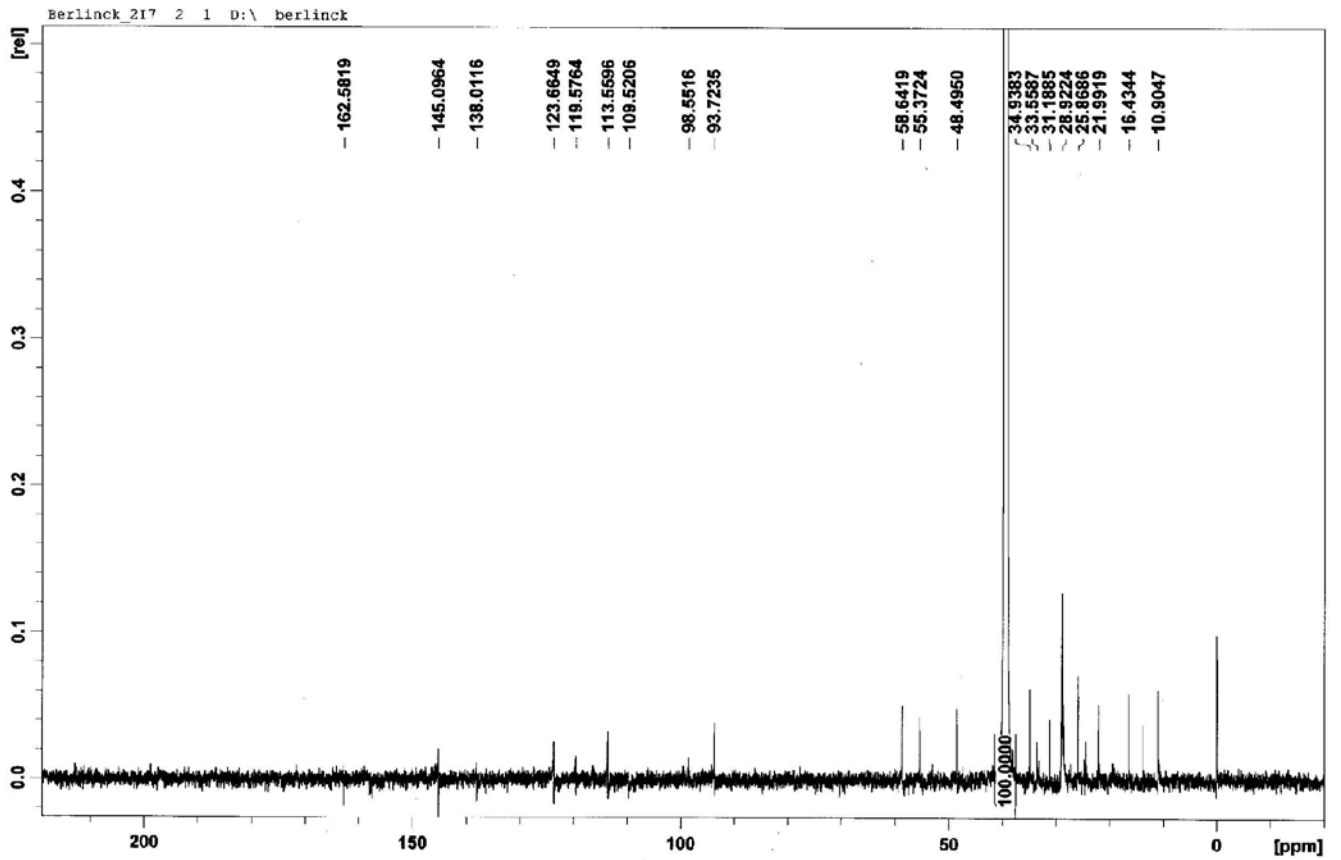


Figura 31S. Espectro de RMN- ^{13}C ($\text{DMSO}-d_6$, 150 MHz) da tambjamina J1 (9) isolada de *B. dentata*

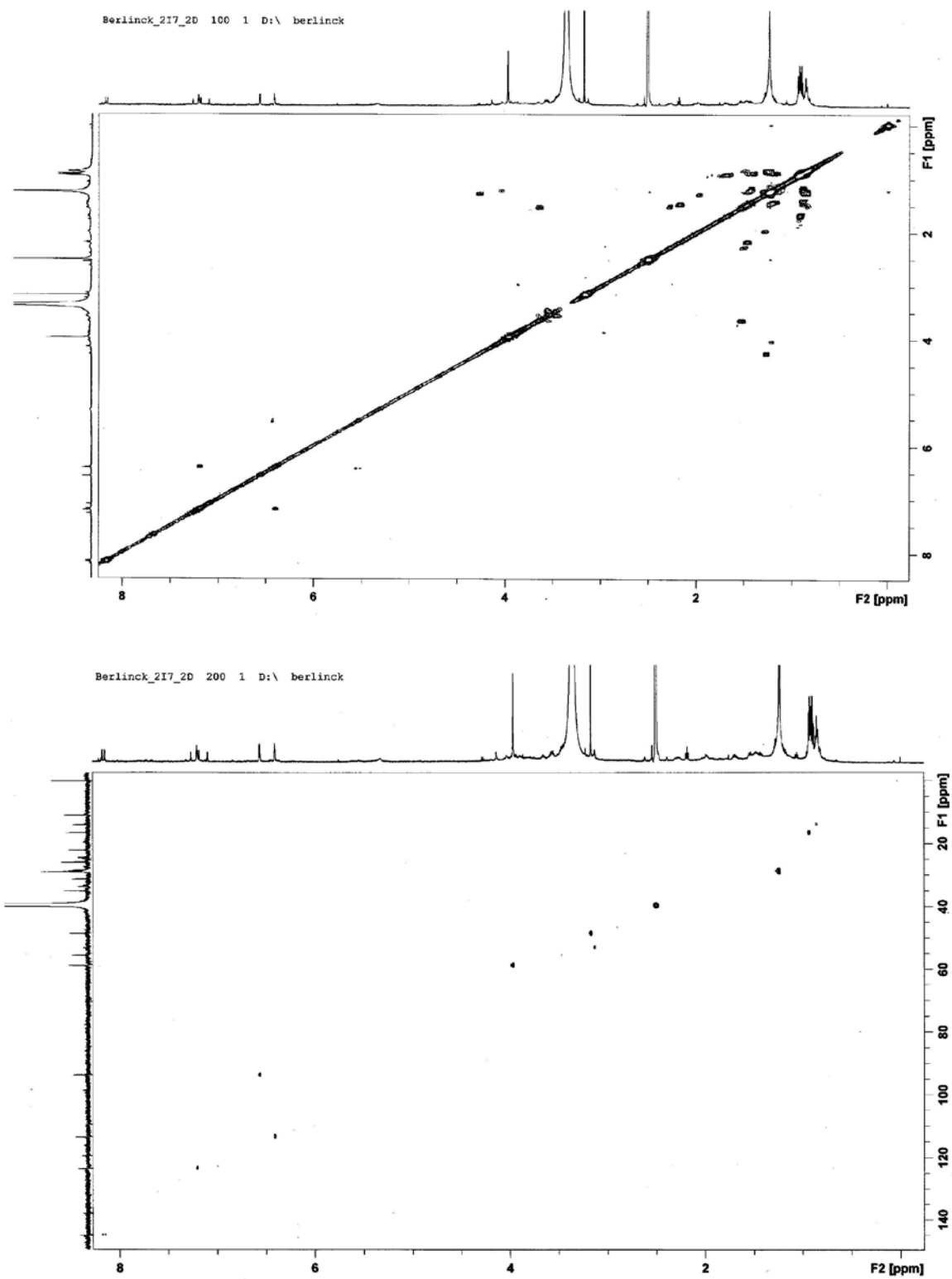


Figura 32S. Espectro de RMN-COSY da tambjamina J1 (9) isolada de *B. dentata*

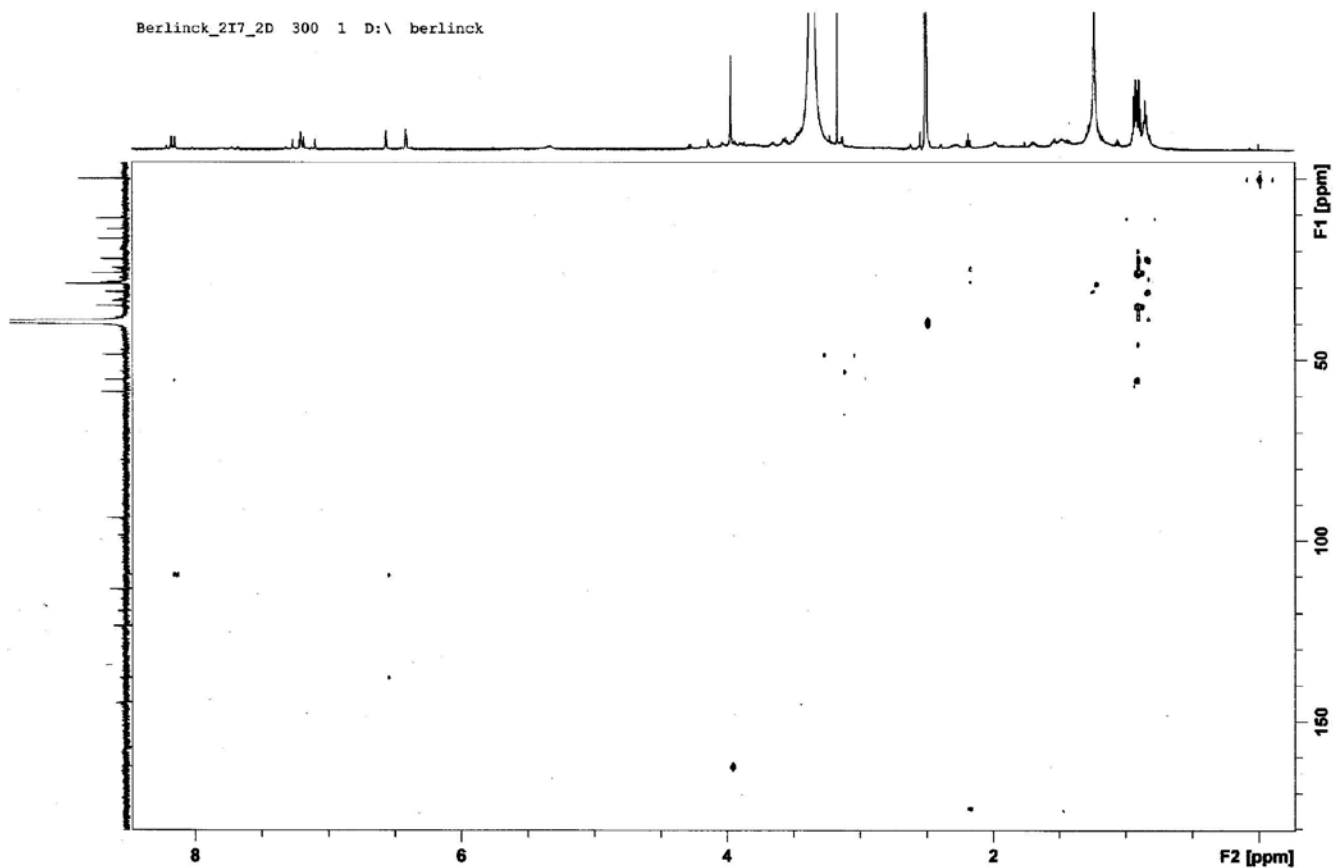


Figura 33S. Espectro de RMN-HSQC da tambjamina J1 (9) isolada de *B. dentata*

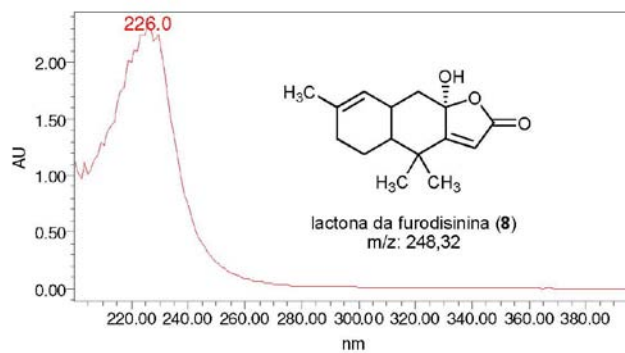


Figura 34S. Espectro de RMN-HMBC da tambjamina J1 (9) isolada de *B. dentata*

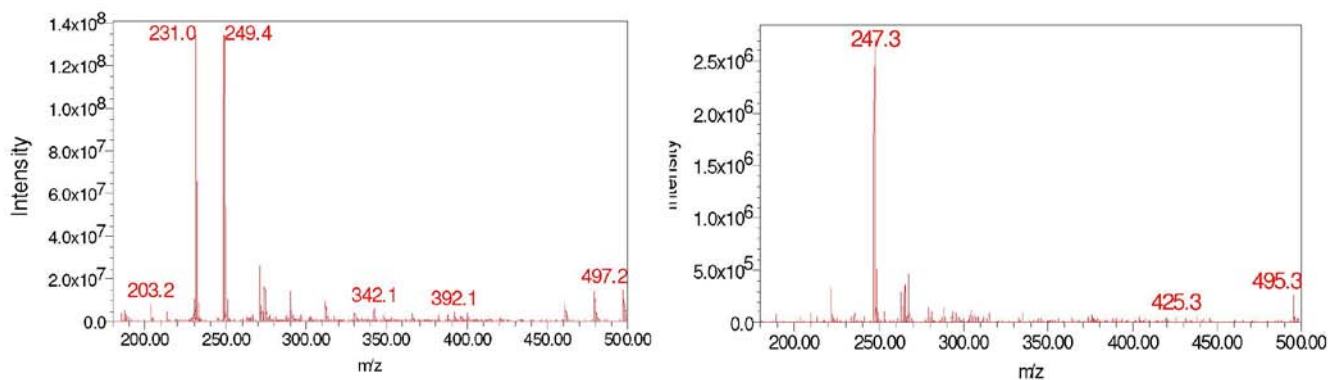


Figura 35S. Espectros no ultravioleta e de massas (ESI⁺ e ESI⁻) da lactona da furodisinina (II)

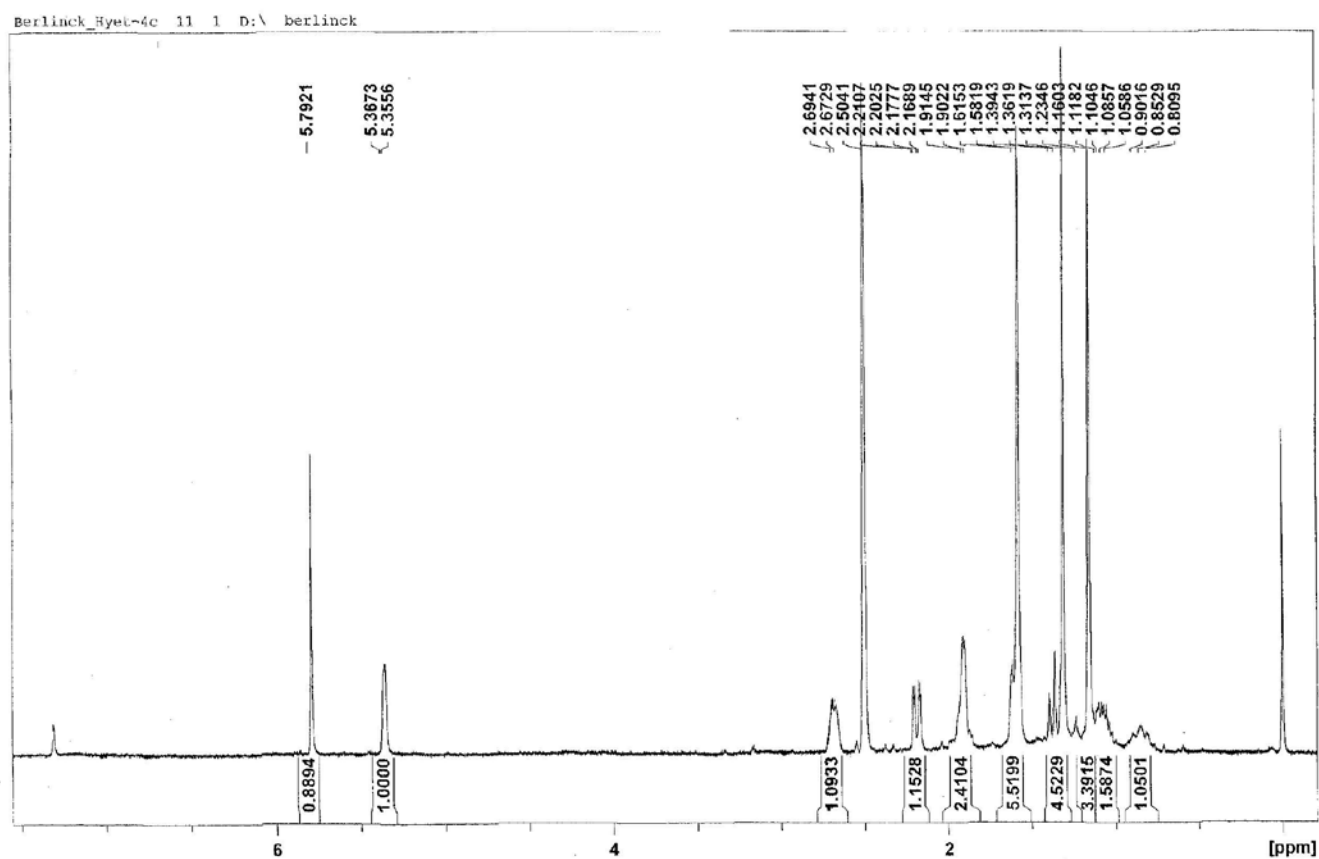


Figura 36S. Espectro de RMN-¹H (DMSO-d₆, 400 MHz) da lactona da furodisinina (II)

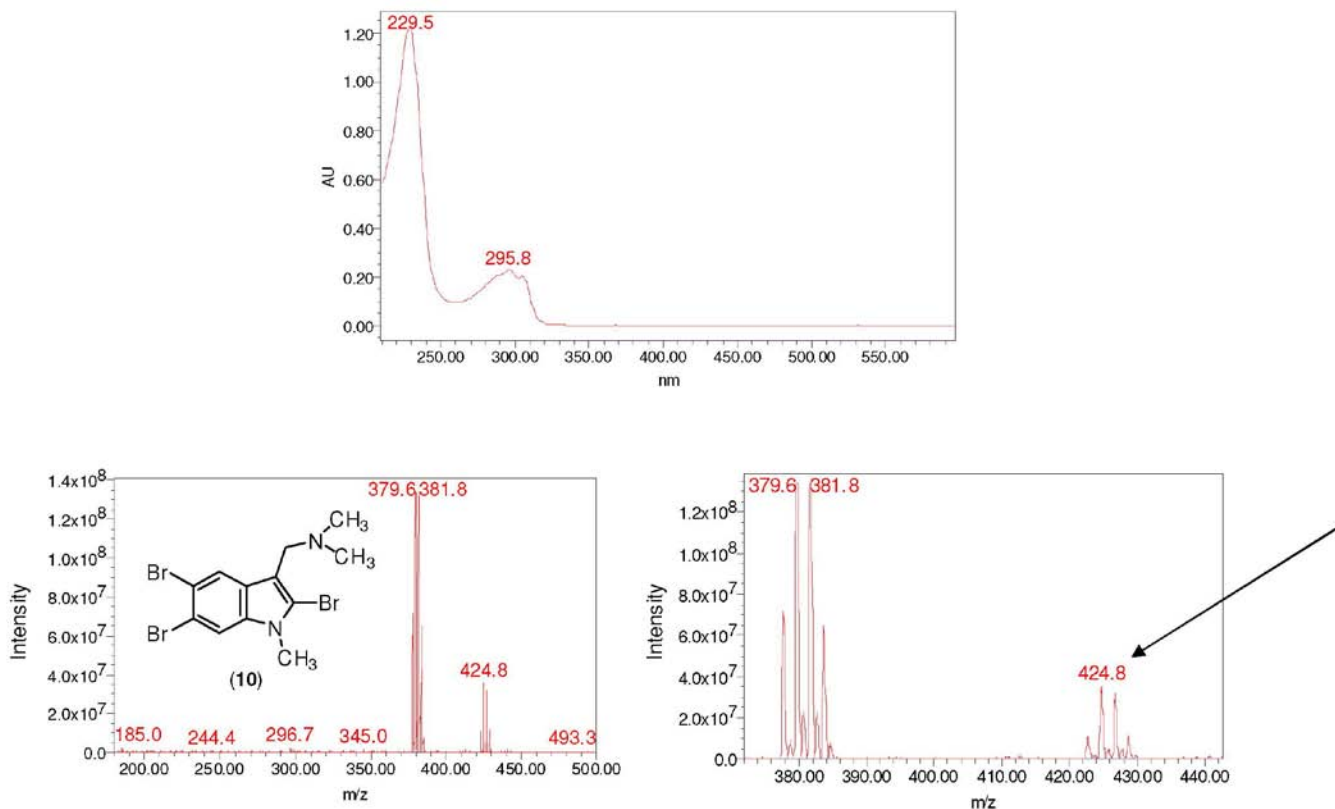


Figura 37S. Espectros no ultravioleta e de massas (ESI+) do 2,5,6-tribromo-N-metilgramina (12)

Berlinck_OKET-5b 11 1 D:\ berlinck

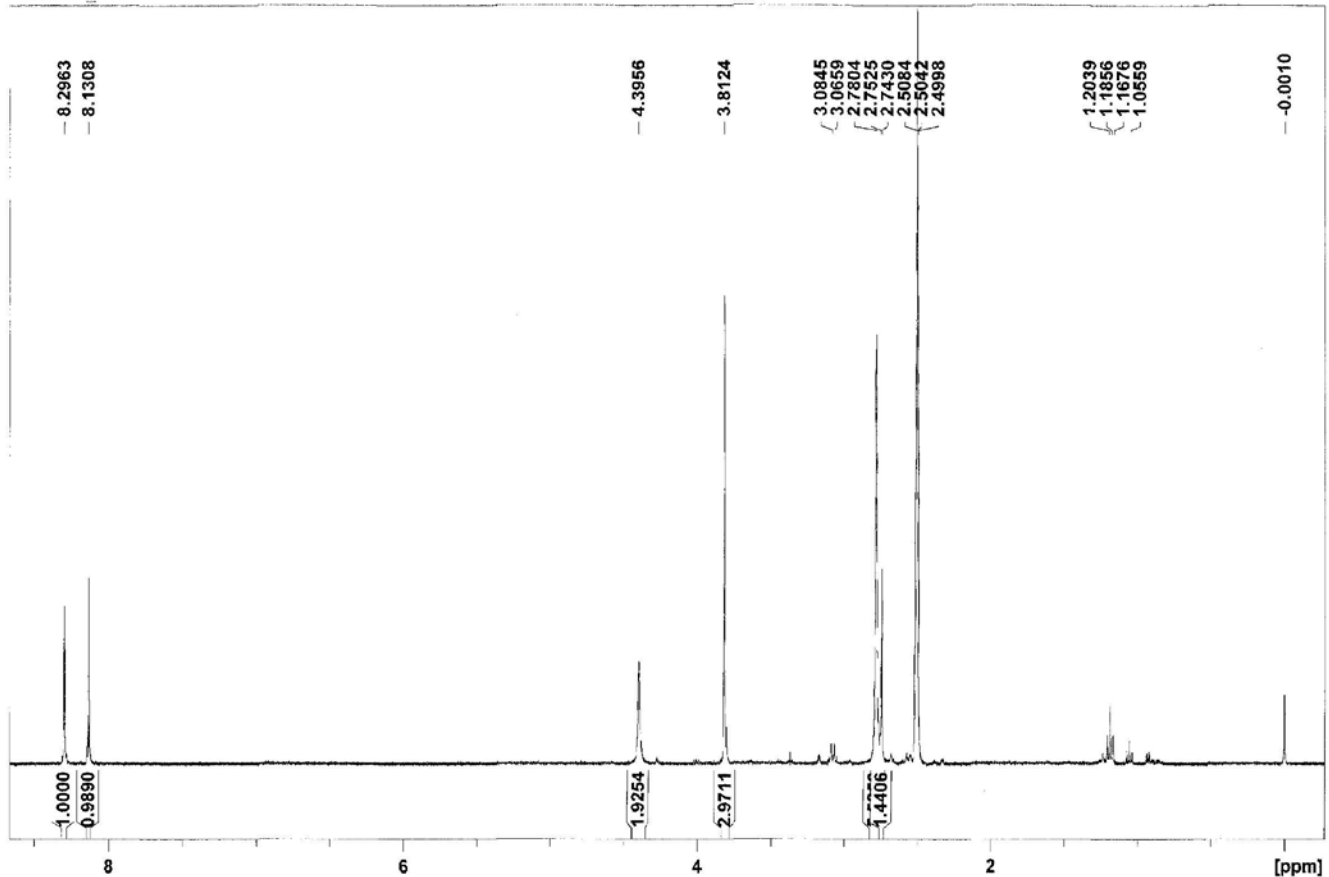


Figura 38S. Espectro de RMN- ^1H (DMSO-d_6 , 400 MHz) 2,5,6-tribromo-N-metilgramina (12)



Tambja stegosauriformis



Hypselodoris lajensis



Okenia zoobotryon sobre *Z. verticillatum*



Tambja sp. sobre *Bugula dentata*

Figura 39S. Fotografias de *Tambja stegosauriformis*, *Hypselodoris lajensis*, *Okenia zoobotryon* sobre *Z. verticillatum* e *Tambja* sp. sobre *Bugula dentata* (fotografias: V. Padula)